

# 一种新型有源钳位 DC/DC 变换电路

A New Active-clamping DC/DC Converter

武汉空军雷达学院 赖向东 吴保芳 戴志平 (武汉 430074)

**摘要:**介绍一种零电压开关 PWM DC/DC 变换电路。因其功率开关管可在无任何附加电压应力下开通和关断,使开关损耗大为下降。与常规的硬开关变换电路相比,具有更高的开关频率和较高的效率。

**Abstract:** The authors introduce a new active-clamping ZVS PWM converter. Its Power switches can turn on and off without additional voltage stress, so the switching loss is lower. Switching-frequency and efficiency of proposed converter are higher than conventional hard-switching DC/DC converter.

**叙词:**变换器 脉宽调制/有源钳位 零电压开关

**Keywords:** converter; PWM; active clamping; ZVS

## 1 引言

近年来,零电压和零电流软开关技术已成为电力电子学科的热门课题之一。本文提出了一种采用零电压开关技术的 DC/DC 变换电路。该电路在传统 Boost 电路基础上附加了一个辅助开关  $S_2$ 、一个谐振电感  $L_r$ 、一个谐振电容  $C_r$  和一个钳位电容  $C_c$ 。功率开关  $S_1$  和  $S_2$  可在没有任何附加电压应力下实现零电压开通,因此开关损耗小,变换效率高,为开关管的安全运行提供了可靠保证。

## 2 工作原理

图 1 示出 ZVS DC/DC 变换器主电路。

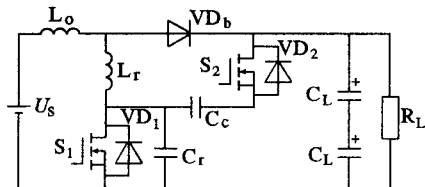


图 1 主电路原理图

为简化分析,假定输入端滤波电感足够大,可将输入视为理想电流源  $I_s$ 。电容  $C_c$  容量也足够大,  $C_c$  两端的电压  $U_c$  为常量。主要波形见图 2。由图 2 可知,两个开关是以推挽方式工作的。在  $t = t_0$  时刻之前,主开关  $S_1$  导通,辅助开关  $S_2$  关断,  $VD_b$  和  $VD_2$  均为反偏截止。 $L_r$  上储有能量  $W_L = \frac{1}{2} L I_s^2$ 。

(1)  $t_0 \sim t_1$  阶段(图 3a) 在  $t = t_0$  时刻,  $S_1$  关断,因  $C_r$  的存在,  $U_{Cr}$  不能突变。随后  $C_r$  被  $I_s$  线性充电至  $U_o(t = t_1)$ ,  $S_1$  为无损耗关断。

(2)  $t_1 \sim t_2$  阶段(图 3b) 在  $t = t_1$  时刻,  $U_{Cr}$  上升至  $U_o$ ,二极管  $VD_b$  开始导通,流过  $L_r$  的电流开始减小。当  $U_{Cr}$  继续上升至  $U_o + U_c$  时,与  $S_2$  反并联的  $VD_2$  导通,  $C_r$  两端电压被钳位在  $U_o + U_c$ ,此时  $S_2$  两端电压为零。

(3)  $t_2 \sim t_3$  阶段(图 3c) 在  $t = t_2$  时刻,  $C_r$  两端电压被钳位在  $U_o + U_c$ ,  $S_2$  两端电压为零,若此时驱动  $S_2$  开通,则是无开通损耗的零电压开关。在  $S_2$  导通期间,电容  $C_r$  两端电压通过  $L_r$ 、 $VD_b$ 、 $S_2$  发生谐振,  $I_{Lr}$  线性下降到零,然后又反向增大,直到  $t = t_3$  时刻,  $S_2$  关断。近似地看,  $C_r$  充、放电的电荷相同。若  $C_r$  容量足够大,可认为  $C_r$  两端电压  $U_c$  不变。

(4)  $t_3 \sim t_4$  阶段(图 3d) 在  $t = t_3$  时刻,  $S_2$  关断。由于  $i_{Lr}$  已经反向不能突变,电容  $C_r$  通过  $L_r$ 、 $VD_b$  和负载发生谐振,  $U_{Cr}$  很快减小到零,为  $S_1$  的零电压开通作准备。因  $C_r$  的存在,  $S_2$  为无损耗关断。

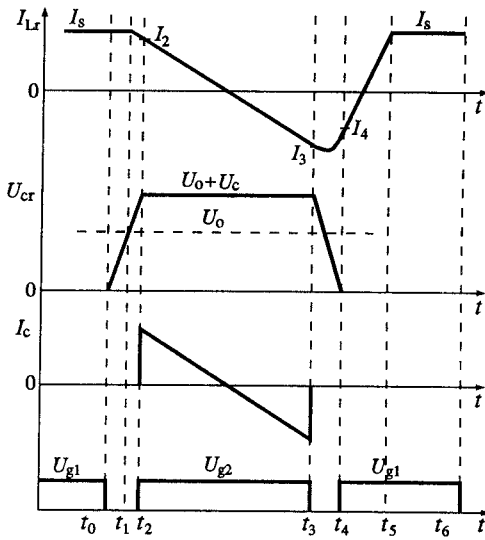


图 2 主要波形

(5)  $t_4 \sim t_5$  阶段(图 3e) 若在  $t = t_4$  时刻驱动  $S_2$  导通,则  $S_1$  是零电压开关,没有开通损耗。此后  $i_{Lr}$  减小到零,并再次反向增加  $I_s$ 。

(6)  $t_5 \sim t_6$  阶段(图 3f) 在  $t = t_5$  时刻,  $i_{Lr} = I_s$ ,二极管  $VD_b$  反偏截止,功率不能传递给负载。这个阶段的终止时刻  $t = t_6$  即为整个开关周期的终点,  $S_1$  关断。

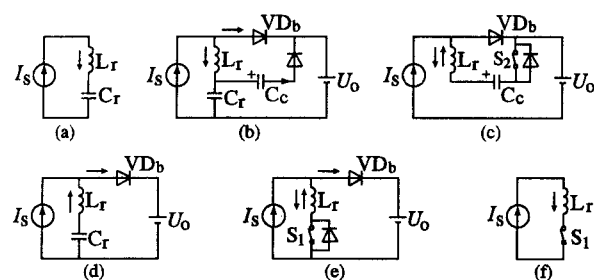


图 3 一个工作周期内的六个阶段拓扑图

### 3 相关理论分析

#### 3.1 电压变换比和钳位比

因  $\Delta t_1, \Delta t_2$  和  $\Delta t_4$  在整个周期中所占比例很小, 可忽略, 以下分析只考虑图 4 所示的理想波形。

稳态时一个开关周期内电容  $C_c$  的功率必为零。根据前面的假设,  $C_c$  两端电压为常量。则  $C_c$  在一个开关周期内平均电流应为零, 即:

$$\int_0^{(1-D)T_s} \left( \frac{-U_c}{L_r} t + I_s \right) dt = 0 \quad (1)$$

得

$$U_c = \frac{2I_s L_r}{T_s (1 - D)} \quad (2)$$

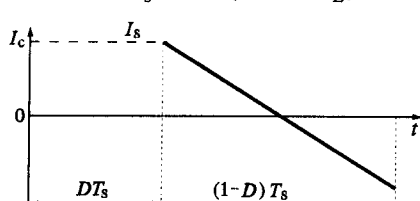
直流电压钳位比  $\beta$  为:

$$\beta = \frac{2K_L}{1 - D} \quad (3)$$

式中  $K_L = \frac{I_s L_r}{U_o T_s}$   
 $D$  —— 占空比

直流电压变换比  $q$  为:

$$q = \frac{U_o}{U_s} = \frac{1}{1 - (D - 2K_L)} \quad (4)$$

图 4 流过钳位电容  $C_c$  的电流  $I_c$ 

#### 3.2 换相情况分析

由前面分析可知, 由于  $C_r$  的存在,  $S_1$  和  $S_2$  实现了无损耗关断。 $S_1$  和  $S_2$  零电压开通时也没有开通损耗, 前提是:  $S_2$  开通之前, 电容  $C_r$  上的电压必须由零充电至  $U_o + U_c$ ;  $S_1$  开通之前, 电容  $C_r$  上的电压必须由  $U_o + U_c$  放电至零。因此, 在  $L_r$  上存储足够的能量是  $S_1$  和  $S_2$  平滑换相的关键。由:

$$\frac{1}{2} L_r I_s^2 \gg \frac{1}{2} C_r (U_c + U_o)^2 \quad (5)$$

得:

$$K_L \gg \frac{1 - D}{2\pi f (1 - D) - 2} \quad (6)$$

式中  $f = f_o/f_s$ ,

$f_o$  —— 振荡频率

$f_s$  —— 开关频率

考虑到效率和输入电感上电流的波动,  $K_L$  的选择应稍大一些。

### 4 设计举例

#### 4.1 设计要求

要求所设计的 DC/DC 变换装置达到如下性能:  
输入电压  $U_s = 300V$ ; 输出电压  $U_o = 400V$ ; 输出功率  $P_o = 1600W$ ; 开关频率  $f_s = 100kHz$ 。

#### 4.2 电路参数

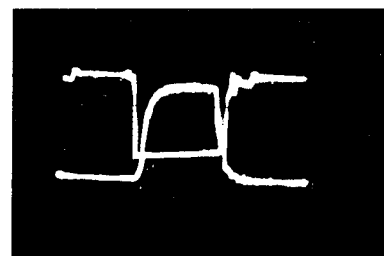
根据上述要求可得直流电压变换比  $q = U_o/U_s = 1.33$ 。选择电路参数为: 开关  $S_1$  的占空比  $D = 0.35$ ; 振荡频率  $f_o = 6f_s$ ; 保证  $S_1, S_2$  能平滑换相的  $K_L$  最小值为  $K_{L(\min)} = (1 - D)/[2\pi f (1 - D) - 2] \approx 0.0289$ 。

根据式(4)  $K_L = (1/2)(1/q - 1 + D) = 0.05 > K_{L(\min)}$ , 符合平滑换相要求, 再根据式(3), 得  $L_r = K_L U_o / (f_s I_s) = 35.6\mu H$ , 而  $C_r = (1/[(2\pi f_o)^2 K_L]) = 1.98nF$ ;  $\beta = 2K_L/(1 - D) = 0.413$ , 即  $U_c = \beta U_o = 57.2V$ 。

#### 4.3 实验结果

依据上面的计算, 选择主要器件如下: 功率开关  $S_1, S_2$  为 2SK1358; 二极管  $VD_b$  为 MUR8100; 振荡电容  $C_r$  为 1000pF/1.25kV; 钳位电容  $C_c$  为 2.2μF/200V; 输出滤波电容  $C_L$  为 220μF/250V; 振荡电感  $L_r$  为 36μH; 输入滤波电感  $L_o$  为 500mH。

图 5 示出主开关  $S_1$  的漏源电压和门极驱动信号波形。从图中看出, 所得实验结果与前面的理论分析完全一致, 达到了设计要求。

 $U_{GS1}:5V/\text{格} \quad U_{DS1}:150V/\text{格}$  (通过分压器测量)图 5 主开关  $S_1$  的漏源电压  $U_{DS1}$  和门极驱动信号  $U_{GS1}$ 

(下转第 18 页)

有较好恒压特性。

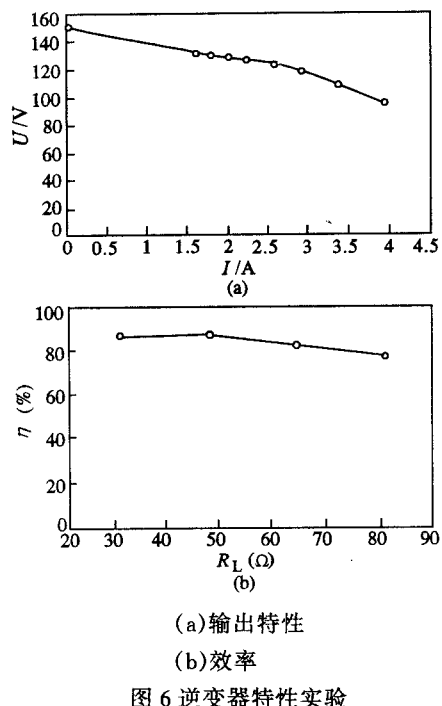


图 6 逆变器特性实验

逆变电路的效率受开关器件损耗、电感线圈电  
阻损耗、谐振电容介质损耗等影响, 实验结果如图  
6b 所示, 在额定输出时, 平均效率可达 85% 以上。

## 4 结 论

本文研究的串联谐振并联输出正弦逆变器, 既  
克服了串联谐振对负载参数敏感的缺点, 又保留了  
串联谐振电路起动容易, 输出波形好, 效率高的优  
点, 在高压静电除尘电源加速器高压电源中具有适  
应性, 是一种先进实用的逆变器电路, 当逆变器的负  
载是 AC/DC 变换电路时, 等效负载的形式较为复  
杂, 具体的分析另文讨论。

## 参 考 文 献

- 1 Mapham N. An SCR Inverter with Good Regulation and Sine-wave Output. IEEE Trans on Industry and General Application. 1967, IGA3(2): 176~187.
- 2 Jain P et al. A Near-zero Current-switching Series Resonant Inverter Using GTO's. IEEE Trans. on Industry Electronics. 1992, 39(4): 351~358.
- 3 江维光. 电路原理. 北京: 清华大学出版社, 1996.
- 4 李东仓. 高频功率逆变器研究 [硕士学位]. 兰州大学, 1999.

收稿日期: 1999-09-21

定稿日期: 1999-12-21

(上接第 28 页)

## 5 结 论

本文介绍了一种采用零电压开关 PWM 技术的  
有源钳位 DC/DC 变换电路。通过数学分析和实验  
结果得出以下结论:

(1) 电路中开关器件可在没有任何附加电压、电  
流应力下通断, 开关损耗极小。不需要附加缓冲电  
路, 简化了电路的结构。

(2) 开关的工作频率高, 电路的效率也很高。经  
实测, 该实验电路在半载情况下效率大于 90%, 如  
对电路结构进行优化, 效率还可以进一步提高。

本电路适用于高效小型化的 DC/DC 变换装置  
中。

## 参 考 文 献

- 1 Watson R., Lee F. C. et al. Utilization of an Active-Clamp Circuit to Achieve Soft Switching in Flyback Converters. in Proc. IEEE Power Electron. Specialists Conf., 1994: 909~916.

收稿日期: 1999-09-21

定稿日期: 2000-01-04

## 作者简介

赖向东: 男, 1969 年 4 月生, 讲师, 硕士。主要从事电力电子技术及其应用研究。